

# روش جدید حل معادلهٔ موازنۀ مواد با استفاده از الگوریتم ژنتیکی جهت تعیین حجم هیدروکربن اولیه و عملکرد مخازن

## علی نوذری

فارغ التحصیل کارشناسی ارشد مهندسی شیمی (مخازن هیدروکربوری) – دانشکده فنی – دانشگاه تهران  
[nozari@excite.com](mailto:nozari@excite.com)

## فرهنگ جلالی فراهانی

دانشیار گروه مهندسی شیمی – دانشکده فنی – دانشگاه تهران

(تاریخ دریافت ۸۳/۱/۲۹، تاریخ تصویب ۸۴/۲/۲۴)

## چکیده

این مقاله روش جدیدی را برای حل معادله موازنۀ مواد با استفاده از تکنیک الگوریتم ژنتیکی معرفی می‌کند. این الگوریتم با قابلیتهایی که داراست توانایی این را دارد که معادله موازنۀ مواد را به تهابی حل کرده و بدون فرض مدل آبدۀ مستقیماً مقدار هیدروکربن درجا و شار آب ورودی به مخزن را مشخص نماید. در روش‌های مرسوم حل معادله موازنۀ مواد از معادلات مدل‌های آبدۀ به عنوان یک معادله کمکی استفاده می‌شود و برای حل مدل آبدۀ نیاز به استفاده از خواص آبدۀ است. این خواص اغلب دارای عدم قطعیت هستند زیرا به دلیل هزینه‌های بالای حفاری، برای پارامترهای آبدۀ، به اطلاعات تخمینی اکتفا می‌شود. این مطالعه به شرح این تکنیک جدید و بررسی چند مثال عملی می‌پردازد تا توانایی‌های غیر قابل انکار آن را در پرهیز از محاسبات زاید ریاضی و حذف مرحله حدس و خطا نشان دهد. یکی از موارد بررسی شده، میدان نفتی کربناته واقع در جنوب غرب ایران می‌باشد.

## واژه‌های کلیدی: موازنۀ مواد<sup>۱</sup>، نفت درجا<sup>۲</sup>، الگوریتم ژنتیک<sup>۳</sup>

## مقدمه

### شرح الگوریتم ساده

مراحل الگوریتم ژنتیک برای یک مساله بهینه سازی به ترتیب زیر است:

- ۱- تعیین متغیرهای مستقل مساله و دامنه تغییرات آنها
- ۲- تعریف تابع هدف
- ۳- انتخاب شاخص برای تعیین لیاقت اعضاء: این مرحله در حقیقت تعیین شرط بهینه بودن است. یعنی اینکه تابع هدف برای بهینه شدن باید ماکزیمم یا مینیمم باشد یا این که لزوماً باید به مقدار خاصی برسد.
- ۴- ایجاد نسل اولیه به صورت تصادفی: این جمعیت متشکل از تعدادی کروموزوم خواهد بود که آنها نیز به نوبه خود هر کدام از مجموعه‌ای از ژنهای تشکیل شده‌اند. ژنهای در حقیقت همان متغیرهای مستقل تابع هدف هستند که اعضاء جمعیت محسوب می‌گردند.

به تعداد هر نسل اندازه جمعیت گفته می‌شود. Goldberg ([۴]) رابطه زیر را برای اندازه جمعیت پیشنهاد می‌کند.

معادله عمومی موازنۀ مواد اولین بار در سال ۱۹۳۶ توسط Schilthuis ([۱]) پیشنهاد گردید. در حالت کلی برای یک مخزن نفتی دارای کلاهک گازی و آبدۀ، استخراج سیالات مخزن باعث کاهش فشار آن می‌شود و به طور طبیعی سیالات باقی مانده، با انبساط خود، سعی در اشغال فضای خالی شده دارند. ارتباط با لایه‌های آبی نیز باعث می‌شود که مقداری از اثرات افت فشار با ورود آب به مخزن جبران شود. لذا جمع جبری تغییرات حجمی نفت، گاز آزاد و آب موجود در مخزن همواره مساوی صفر خواهد بود.

Odeh و Havlena ([۲] و [۳]) یکی از شاخص ترین کارها در زمینه موازنۀ مواد انجام داده‌اند. این دو در مقالاتشان، معادله موازنۀ مواد را به شکل معادله یک خط راست بیان کردند. از دو مقاله آنها، اولی اختصاص به تکنیک حل مساله داشت و دومی مثالهای عملی حل شده با این روش را بیان می‌کرد.

که  $p_m$  احتمال انجام جهش محسوب می‌گردد. لقادم هم در این سیستم به صورت ساده از برش دو کروموزوم و اتصال قطعات ایجاد شده به هم حاصل می‌گردد.

در سیستم اعداد حقیقی اما، روش‌های متفاوتی برای لقادم و جهش وجود دارد. مانند جهش همسان، جهش ناهمسان، جهش مرزی، جهش ناهمسان چندگانه، لقادم ساده، لقادم حسابی و لقادم اکتشافی. چنانچه  $a_i$  و  $b_i$  حدود بالایی و پایینی برای  $\bar{z}_n$  باشند، این عملگرها به شکل زیر تعریف می‌گردند.

جهش همسان: این عملگر به شکل تصادفی متغیر  $z$  را انتخاب می‌کند و آن را برابر عددی تصادفی قرار می‌دهد.

$$x'_i = \begin{cases} Ran(a_i, b_i) & \text{if } Ran(0,1) < p_m \\ x_i & \text{otherwise} \end{cases}$$

جهش مرزی: این عملگر به شکل تصادفی متغیر  $z$  را انتخاب می‌کند و آن را برابر حد بالایی یا پایینی اش قرار می‌دهد،

$$x'_i = \begin{cases} a_i, & \text{if } i = j, Ran(0,1) < 0.5 \\ b_i, & \text{if } i = j, Ran(0,1) \geq 0.5 \\ x_i, & \text{otherwise} \end{cases}$$

لقادم ساده در سیستم اعداد حقیقی مشابه آن چیزی است که برای سیستم دودویی توضیح داده شد.

لقادم حسابی: چنانچه دو کروموزوم  $\bar{X}$  و  $\bar{Y}$  به عنوان والدین انتخاب شده باشند،  $\bar{X}'$  و  $\bar{Y}'$  به عنوان فرزندان به شکل زیر تولید می‌شوند.

$$\bar{X}' = r\bar{X} + (1-r)\bar{Y}, r = Ran(0,1)$$

$$\bar{Y}' = (1-r)\bar{X} + r\bar{Y}$$

مشاهده می‌شود که در این روش فرزندان ترکیبی خطی از والدین خود محسوب می‌گردند.

لقادم اکتشافی: در این روش بین دو کروموزوم برونو یا بخطی انجام می‌شود و تنها روشنی است که لیاقت کروموزوم‌ها هم در نظر گرفته می‌شود. چنانچه  $\bar{X}$  لائق تر از  $\bar{Y}$  باشد،

$$\bar{X}' = \bar{X} + r(\bar{X} - \bar{Y})$$

$$\bar{Y}' = \bar{X}$$

اگر امکان (feasibility) وجود  $\bar{X}'$  صفر باشد، عدد  $r$

$$N_{pop} = 1.65 \times 2^{0.21L_{chrom}} \quad L_{chrom} < 50$$

این مقدار برای بسیاری از مسائل عدد بزرگی می‌شود. تجربه ثابت کرده است که مقداری در محدوده ۱۲ تا ۲۵ برای اندازه جمعیت در مورد خیلی از توابع جواب قابل قبول می‌دهد.

$$12 < N_{pop} < 25$$

همان طور که اشاره شد نسل اول به صورت تصادفی ایجاد می‌شود. در الگوریتم ژنتیک ساده فرض می‌شود که تعداد جمعیت ثابت است در حالیکه در طبیعت این گونه نیست. ۵- تعریف تابع انتخاب: در این مرحله از بین اعضاء جمعیت اولیه، یک جمعیت جدید تولید می‌شود. هر یک از اعضاء در این مرحله با توجه به لیاقتشان می‌توانند بیشتر از یک بار هم انتخاب شوند. یک روش معمول در انتخاب، تولید  $N$  عدد تصادفی بین صفر و یک و مقایسه آن با مجموع احتمالات است.

$$\Pi(i) = \sum_{j=1}^i PR(j)$$

چنانچه  $\Pi(i-1) < Ran(0,1) < \Pi(i)$  باشد، این کروموزوم برای جمعیت جدید انتخاب می‌گردد. روش‌های مختلفی برای اختصاص احتمال انتخاب به هر عضو براساس میزان لیاقت آن وجود دارد. مانند گردونه شانس، درجه بندی خطی و درجه بندی هندسی. اولین روش محاسبه احتمال انتخاب، استفاده از گردونه شانس بود که در سال ۱۹۷۵ توسط Holland ([۵]) پیشنهاد گردید.

$$PR(i) = \frac{F(i)}{\sum_{j=1}^{PopSiz} F(j)}$$

۶- اعمال عملگرهای ژنتیک: عملگرهای ژنتیکی پایه مکانیزم جستجو در GA به شمار می‌روند و به دو نوع اصلی لقادم و جهش تقسیم می‌گردند. عملگر لقادم دو عضو جمعیت را به عنوان والدین نظر می‌گیرد و دو کروموزوم جدید تولید می‌کند، در حالیکه عملگر جهش ژنهای مربوط به کروموزومها را تغییر می‌دهد.

در سیستم اعداد دودویی که در آن با مجموعه ای از کدهای صفر و یک کار می‌شود به تعداد ژنهای  $N$  عدد تصادفی تولید شده و جهش به روش زیر انجام می‌شود.

$$\begin{cases} 1-x_i & \text{if } Ran(0,1) < p_m \\ x_i & \text{otherwise} \end{cases}$$

همانطور که از این رابطه برمی‌آید اجزاء سمت چپ معادله اشاره به مکانیزم‌های مختلف تولید دارند در حالی که اجزاء سمت راست، مقدار آب و هیدروکربن استخراج شده را نشان می‌دهند. دو ترم اول سمت چپ به انبساط نفت و گاز آزاد، ترم سوم انبساط سنگ و آب همزاد و ترم چهارم نیز شار آب ورودی به مخزن را نمایش می‌دهند. در سمت راست معادله هم که، ترم اول تولید نفت و گاز و ترم دوم میزان تولید آب را نشان می‌دهند. متغیرهای این معادله عبارتند از  $m$  (نسبت حجم کلاهک گازی به مقدار نفت در شرایط اولیه)،  $N$  (حجم اولیه نفت درجا (STB)) و مقادیر  $W_e$  (شار آب ورودی به مخزن (bbl) برای مراحل زمانی متوالی). لذا اگر تعداد مراحل زمانی برابر  $n$  باشد،  $(n+2)$  متغیر وجود خواهد داشت. هر یک از این  $(n+2)$  متغیر به عنوان یک ژن در نظر گرفته شده اند که مجموعه آنها یک کروموزوم را می‌سازد.

ایجاد جمعیت اولیہ

اندازه جمعیت برای مسائل مختلف تغییر می کند.  
 چنانچه اندازه جمعیت (تعداد کروموزوم ها) برابر  $PS$  باشد، جمعیت ایجاد شده یک ماتریس  $(n+2) \times PS$  خواهد بود.

الگوریتم در ابتدا یک جماعتی تصادفی تولید می‌کند. بدیهی است که مقادیر اختصاص داده شده برای ژنها به وسیله تعريف حدود معقول برای آنها کنترل می‌شود تا از بازه اصلی خود خیلی دور نشوند.

تائمه هدف

برای تعریف تابع هدف، از نظریه Havlena - Odeh استفاده شده است. برای بیان رابطه عمومی به صورت معادله یک خط راست تعاریف زیر صورت می‌گیرد.

اعوض شده و دوباره رابطه بالا به کار گرفته می‌شود.

$$feasibility = \begin{cases} 1, & \text{if } x'_i \geq a_i, x'_i \leq b_i \quad \forall i \\ 0, & \text{otherwise} \end{cases}$$

-۷- اعمال استراتژی جریمه: در این استراتژی، کروموزومهای خارج از محدوده، حذف نشده و در محاسبات به کار گرفته می‌شوند، اما برای آنها جریمه‌ای اختصاص می‌یابد. توابع جریمه را به دو دسته جریمه ثابت<sup>۴</sup> و جریمه متغیر<sup>۵</sup> تقسیم بندی می‌کنند. در توابع متغیر، با توجه به لیاقت کروموزوم، میزان جریمه هم فرق خواهد کرد.

-۸- انتخاب جمعیت جدید: در این مرحله لیاقت هر کروموزوم در جمعیت جدید (جمعیت جایگزین شده یا افزوده شده طی مراحل قبلی) با استفاده از تابع هدف ارزیابی شده، سپس کروموزوم ها براساس لیاقت‌شان مرتب می‌شوند و بهترینها  $N_{pop}$  آنها به مرحله ۵ باز می‌گردند.

۹- توابع پایان دهنده: الگوریتم ژنتیکی حرکت خود را از نسلی به نسل دیگر طی می‌کند. والدین را انتخاب و فرزندان را تولید می‌نماید تا آنکه به یک شرط پایان دهنده برسد. معمولی ترین مبنا برای پایان یافتن الگوریتم ها، مشخص کردن ماکزیمم تعداد نسلهاست. یک

استراتژی دیگر، توقف برنامه هنگام رسیدن به مبنای همگرایی جمیعت می‌باشد. یعنی وقتی مجموع انحراف معیارهای اعضاء جمیعت از یک مقدار معلوم کمتر شود، الگوریتم می‌تواند پایان یابد. عدم بهبود انحراف معیار در طی چند نسل نیز یک مبنای دیگر برای پایان دادن به برنامه است. بسته به نوع تابع هدف، هر یک از موارد بالا می‌تواند به عنوان شرط پایان یافتن الگوریتم استفاده شود.

روش کار

Schilthuis کلی ترین شکل معادله موازنه مواد را به شکل زیر پیشنهاد نمود.

$$N(B_t - B_{ti}) + \frac{NmB_{ti}}{B_{gi}}(B_g - B_{gi}) + (1+m)NB_{ti}\left[\frac{c_w S_{wi} + c_f}{1 - S_{wi}}\right]\Delta p + W_e = N_p[B_t + (R_p - R_{soi})B_g] + B_w W_p$$

## حل یک مثال

روش الگوریتم ژنتیکی برای یک مثال برگرفته شده از کتاب Fundamental of Reservoir Engineering [۶] به کار گرفته شد. جدول (۱) اطلاعات مربوط به مسئله را نشان می‌دهد. تعداد مراحل زمانی در این مثال برابر ۱۰ است و تعداد ۲۰ کروموزوم برای جمعیت درنظر گرفته شده است. از آنجا که مخزن مورد نظر زیر اشباع است،  $m = 0$  بوده و در محاسبات نقشی ندارد. لذا جمعیت اولیه که به صورت تصادفی ایجاد می‌شود، یک ماتریس  $11 \times 20$  خواهد بود. این مسئله با فرض نفت اولیه درجای معلوم، به کار گیری مدل آبده Hurst-Van Everdingen و تقسیم بازه فشاری به ۱۰ قسمت حل شده است (شکل ۱).

برای این کار از روش حدس و خطأ استفاده شده است. بدین ترتیب که در هر مرحله مقداری برای شاع آبده فرض شده و با استفاده از مقادیر بدون بعد مدل آبده حل شده است. جداول (۲) و (۳) نحوه حل مسئله را برای دو شاع بدون بعد حدس زده شده نشان می‌دهند. همانگونه که در این جداول آمده برای هر  $r_{eD}$  باید اصل برهمنه استفاده شود و حجم زیادی از محاسبات انجام گردد. بدیهی است که این روش مستلزم صرف وقت زیادی می‌باشد. در نهایت چون مقادیر  $W_e$  به دست آمده با  $r_{eD} = 5$  در رابطه Havlena-Odeh صدق کرده اند، به عنوان جواب ارائه شده اند.

الگوریتم ژنتیکی این مسئله را بسیار ساده تر، با صرف وقت بسیار کم، با دقت بسیار خوب و بدون استفاده از مدل‌های آبده حل می‌کند. میزان خطأ در طی ۶۰۰ مرحله تکرار از ۱۰ به ۰/۰۰۶ رسیده است. شکل (۲) حل مسئله را به صورت ترسیمی نشان می‌دهد. نکته قابل توجه یک بودن شبیخ طی است که از نقاط به دست آمده گذشته است و دقت روش ژنتیک را نشان می‌دهد. مقایسه جوابهای الگوریتم ژنتیکی با جوابهای حاصل از روش تعریف مدل آبده نیز در جدول (۴) آمده است. همانطور که این جدول نشان می‌دهد مقادیر شار آب ورودی به مخزن در هر مرحله زمانی دو روش کاملاً همخوانی دارند، در صورتی که روش ژنتیک بسیار زودتر به جواب می‌رسد.

$$F = N_p [B_t + (R_p - R_{soi}) B_g] + B_w W_p \quad (bb)$$

که میزان مواد استخراج شده را نشان می‌دهد.

$$E_o = (B_t - B_{ti}) \quad (bb/STB)$$

که میزان انبساط نفت و گاز محلولش را نمایش می‌دهد.

$$E_g = B_{ti} \left( \frac{B_g}{B_{gi}} - 1 \right) \quad (bb/STB)$$

که اشاره به انبساط کلاهک گازی دارد.

$$E_{f,w} = (1+m) B_{ti} \left( \frac{c_w S_{wi} + c_f}{1-S_{wi}} \right) \Delta p$$

$$(bb/STB)$$

که میزان انبساط سنگ و آب همزاد را نشان می‌دهد، و

$$E_t = E_o + m E_g + E_{f,w}$$

با استفاده از این تعاریف و جایگزینی ترمومای فوق در معادله عمومی، این رابطه به شکل زیر درمی‌آید:

$$\frac{F}{E_t} = N + \frac{W_e B_w}{E_t}$$

یعنی چنانچه مقادیر  $m$ ،  $N$  و  $W_e$  ها صحیح باشند،

$$\text{نمودار } \frac{W_e B_w}{E_t} \text{ بر حسب } \frac{F}{E_t} \text{ یک خط راست به شبی}$$

یک و عرض از مبدأ  $N$  ایجاد خواهد کرد. مقادیر  $F$  و  $E_t$  با توجه به اطلاعات تولید و خواص PVT محاسبه شده و به صورت بردارهایی به مدل ژنتیک معرفی می‌شوند.تابع هدف یک تابع خطاست که باید مینیمم شود. این تابع با این ایده تعریف شده است که قدر مطلق، اختلاف مقادیر شار آب به دست آمده از رابطه خط راست، بر حسب  $m$  و  $N$  ایجاد شده توسط الگوریتم ژنتیکی، و مقادیر شار آب جمعیت الگوریتم به حداقل میزان ممکنه برسد. در این صورت  $m$  و  $N$  و  $W_e$  های ایجاد شده بهترین جواب برای معادله موازنۀ مواد خواهند بود،

$$W_{ecal} = \left( \frac{F}{E_t} - N_{Gen} \right) \frac{E_t}{B_w}$$

$$OF = \sum_{i=1}^{PS} \left[ (W_{eGen})_i - (W_{ecal})_i \right]$$

هر چه میزان تابع هدف ( $OF$ ) به صفر نزدیکتر باشد نسل ایجاد شده مرغوب تر بوده و به جواب مسئله نزدیک تر خواهد بود.

جدول ۱: اطلاعات مربوط به مسأله.

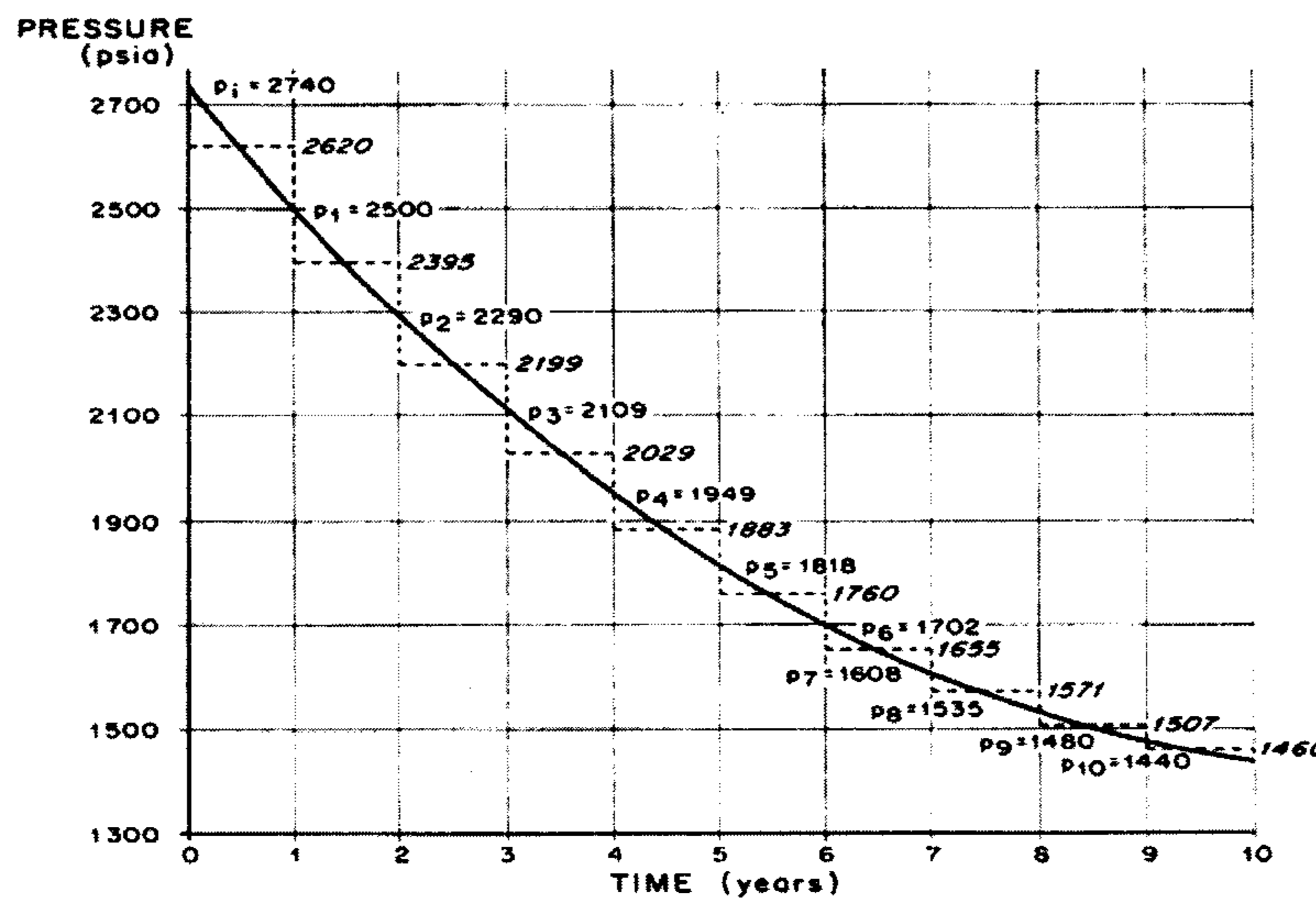
| Time | P    | F      | E <sub>t</sub> |
|------|------|--------|----------------|
| 0    | 2740 | -      | -              |
| 1    | 2500 | 12.12  | 0.03           |
| 2    | 2290 | 30.76  | 0.06           |
| 3    | 2109 | 52.83  | 0.09           |
| 4    | 1949 | 79.80  | 0.14           |
| 5    | 1818 | 105.96 | 0.19           |
| 6    | 1702 | 132.29 | 0.24           |
| 7    | 1608 | 157.08 | 0.29           |
| 8    | 1535 | 179.18 | 0.33           |
| 9    | 1480 | 196.65 | 0.36           |
| 10   | 1440 | 210.74 | 0.39           |

جدول ۲: محاسبه مقادیر آب ورودی برای  $r_{eD} = 10$ 

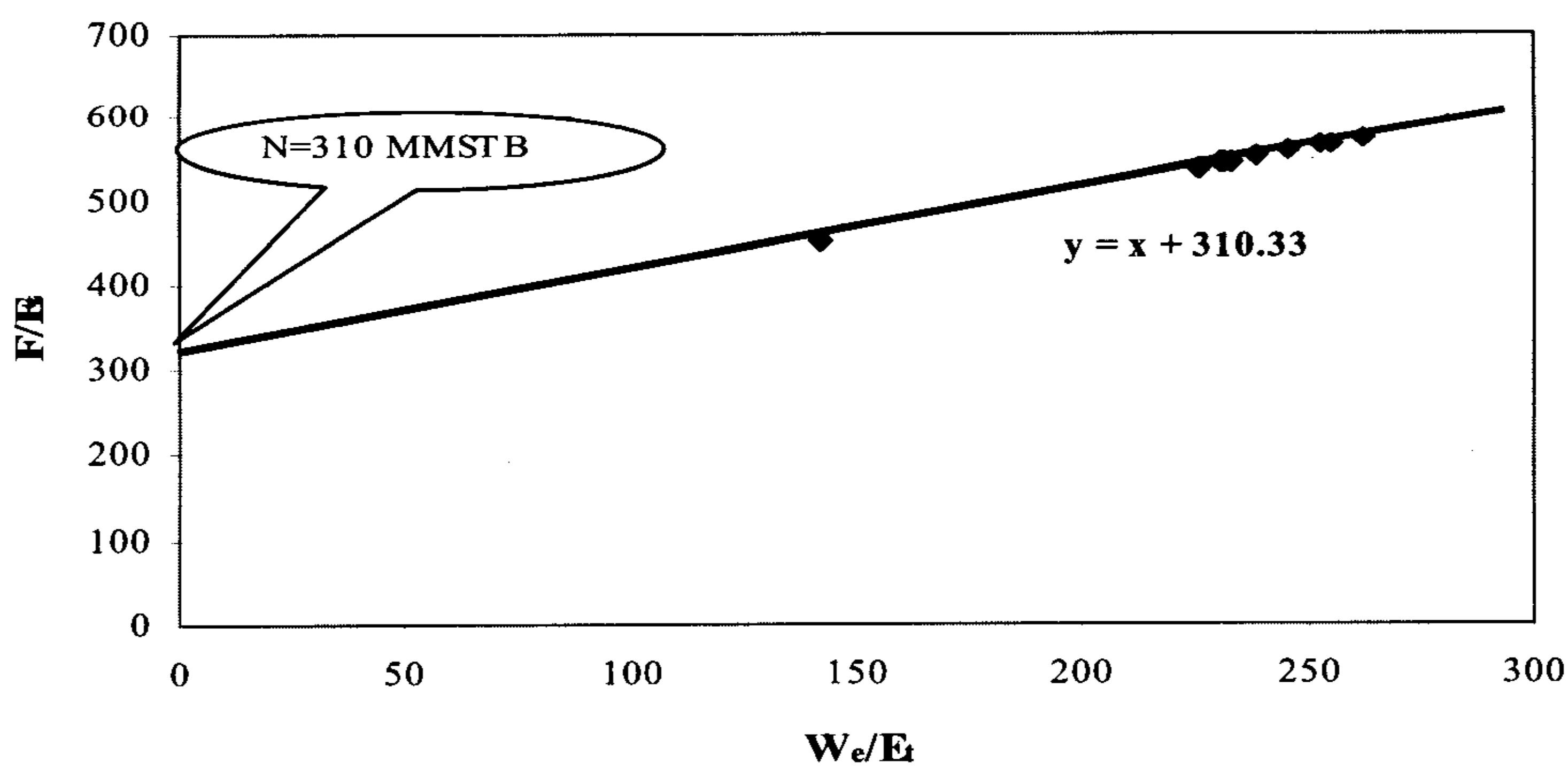
| T<br>(years) | $W_e = U \sum_{i=0}^{n-1} \Delta p_i W_D (T_D - t_{D_i})$  | $W_e$<br>(MMrb) |
|--------------|--|-----------------|
| 1            | 6446(120x4.95)   | 3.829           |
| 2            | 6446(120x8.12 + 225x4.95)  | 13.460          |
| 3            | 6446(120x10.90 + 225x8.12 + 196x4.95)  | 26.462          |
| 4            | 6446(120x13.50 + 225x10.90 + 196x8.12 + 170x4.95)  | 41.935          |
| 5            | 6446(120x15.90 + 225x13.50 + 196x10.90 + 170x8.12<br>+ 146x4.95)   | 59.207          |
| 6            | 6446(120x18.10 + 225x15.90 + 196x13.50 + 170x10.90<br>+ 146x8.12 + 123x4.95)   | 77.628          |
| 7            | 6446(120x20.20 + 225x18.10 + 196x15.90 + 170x13.50<br>+ 146x10.90 + 123x8.12 + 105x4.95)                                     | 96.805          |
| 8            | 6446(120x22.20 + 225x20.20 + 196x18.10 + 170x15.90<br>+ 146x13.50 + 123x10.90 + 105x8.12 + 84x4.95)                          | 116.284         |
| 9            | 6446(120x24.00 + 225x22.20 + 196x20.20 + 170x18.10<br>+ 146x15.90 + 123x13.50 + 105x10.90 + 84x8.12<br>+ 64x4.95)            | 135.601         |
| 10           | 6446(120x25.70 + 225x24.00 + 196x22.20 + 170x20.20<br>+ 146x18.10 + 123x15.90 + 105x13.50 + 84x10.90<br>+ 64x8.12 + 47x4.95) | 154.401         |

جدول ۳: محاسبه مقادیر آب ورودی برای  $r_{eD} = 5$ 

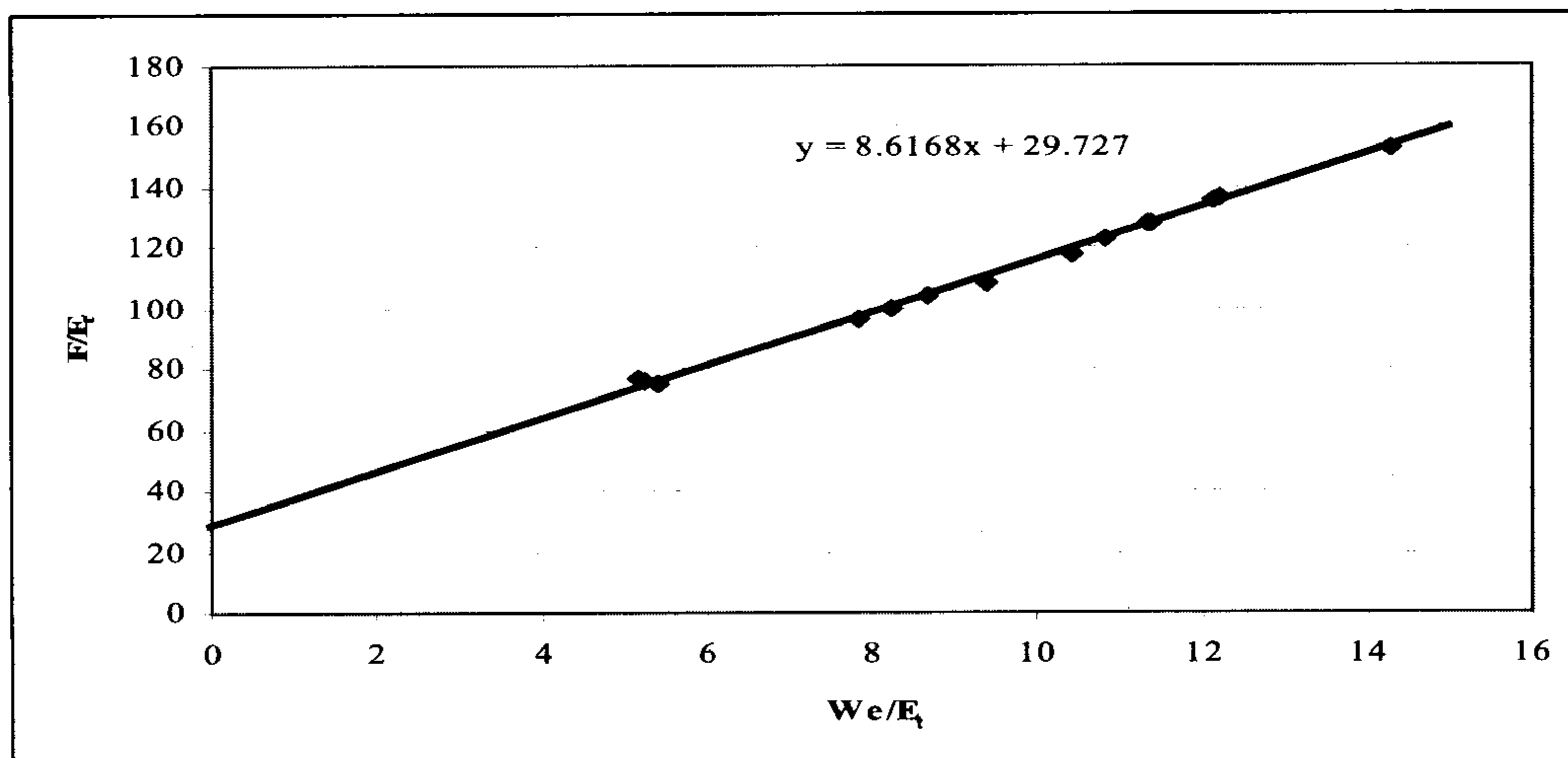
| T<br>(years) | $W_e = U \sum_{i=0}^{n-1} \Delta p_i W_D (T_D - t_{D_i})$   | $W_e$<br>(MMrb) |
|--------------|---|-----------------|
| 1            | 6446(120x4.88)  | 3.775           |
| 2            | 6446(120x7.46 + 225x4.88)   | 12.848          |
| 3            | 6446(120x9.10 + 225x7.46 + 196x4.88)  | 24.024          |
| 4            | 6446(120x10.09 + 225x9.10 + 196x7.46 + 170x4.88)  | 35.775          |
| 5            | 6446(120x10.83 + 225x10.09 + 196x9.10 + 170x7.46<br>+ 146x4.88)   | 47.276          |
| 6            | 6446(120x11.27 + 225x10.83 + 196x10.09 + 170x9.10<br>+ 146x7.46 + 123x4.88)   | 58.035          |
| 7            | 6446(120x11.52 + 225x11.27 + 196x10.83 + 170x10.09<br>+ 146x9.10 + 123x7.46 + 105x4.88)                                     | 67.778          |
| 8            | 6446(120x11.69 + 225x11.52 + 196x11.27 + 170x10.83<br>+ 146x10.09 + 123x9.10 + 105x7.46 + 84x4.88)                          | 76.259          |
| 9            | 6446(120x11.81 + 225x11.69 + 196x11.52 + 170x11.27<br>+ 146x10.83 + 123x10.09 + 105x9.10 + 84x7.46<br>+ 64x4.88)            | 83.398          |
| 10           | 6446(120x11.89 + 225x11.81 + 196x11.69 + 170x11.52<br>+ 146x11.27 + 123x10.83 + 105x10.09 + 84x9.10<br>+ 64x7.46 + 47x4.88) | 89.225          |



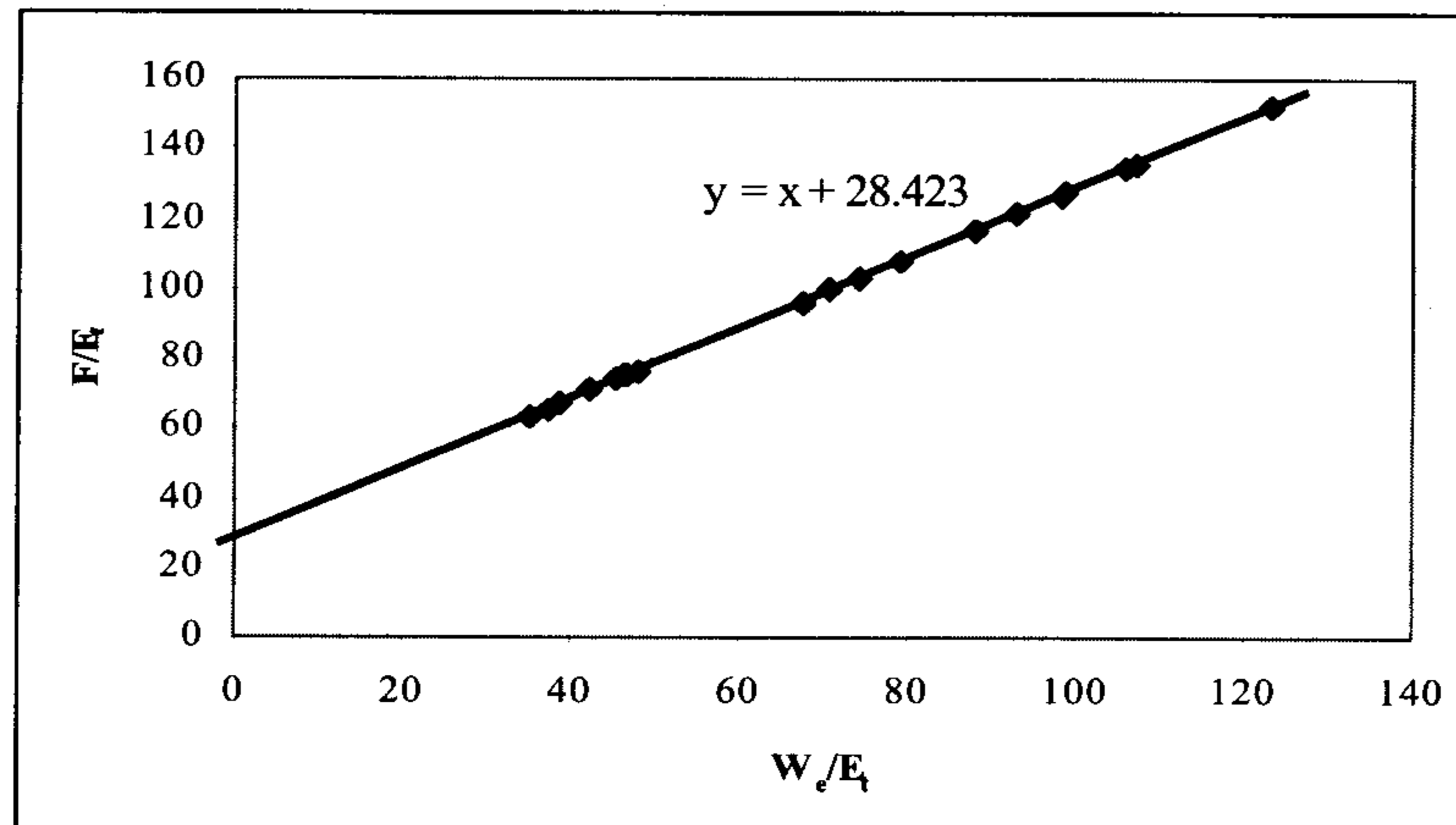
شکل ۱: تقسیم بازه تغییر فشار مخزن به ۱۰ قسمت.



شکل ۲: ترسیم نمودار Havlena-Odeh برای حل ژنتیکی مساله.



شکل ۳: ترسیم نمودار Havlena-Odeh برای میدان Guico.



شکل ۴: ترسیم نمودار خط راست برای نتایج الگوریتم ژنتیکی در میدان Guico.

جدول ۴: مقایسه جوابهای دو روش.

| T  | GA            |           | Aquifer Model |           |
|----|---------------|-----------|---------------|-----------|
|    | N=310 MMSTB   |           | N=312 MMSTB   |           |
|    | $W_e$ (MMbbl) | $W_e/E_t$ | $W_e$ (MMbbl) | $W_e/E_t$ |
| 1  | 3.81          | 142.02    | 3.77          | 140.67    |
| 2  | 12.94         | 225.51    | 12.85         | 223.83    |
| 3  | 24.18         | 261.93    | 24.02         | 260.28    |
| 4  | 36.00         | 255.14    | 35.78         | 253.54    |
| 5  | 47.58         | 252.96    | 47.28         | 251.33    |
| 6  | 58.42         | 245.45    | 58.04         | 243.84    |
| 7  | 68.24         | 238.44    | 67.78         | 236.82    |
| 8  | 76.77         | 232.72    | 76.26         | 231.16    |
| 9  | 83.98         | 231.35    | 83.40         | 229.75    |
| 10 | 89.84         | 230.66    | 89.23         | 229.08    |

جدول ۵: اطلاعات مربوط به میدان.

| Time | P    | $E_0$ | $E_g$ | F     |
|------|------|-------|-------|-------|
| 0    | 2055 |       |       |       |
| 1    | 1964 | 0.03  | 0.08  | 2.26  |
| 2    | 1924 | 0.05  | 0.11  | 3.46  |
| 3    | 1897 | 0.06  | 0.14  | 4.75  |
| 4    | 1879 | 0.06  | 0.16  | 5.65  |
| 5    | 1846 | 0.08  | 0.19  | 6.29  |
| 6    | 1814 | 0.09  | 0.22  | 8.50  |
| 7    | 1799 | 0.10  | 0.24  | 8.99  |
| 8    | 1781 | 0.11  | 0.26  | 9.75  |
| 9    | 1778 | 0.11  | 0.26  | 12.68 |
| 10   | 1760 | 0.12  | 0.28  | 14.20 |
| 11   | 1750 | 0.13  | 0.29  | 15.34 |
| 12   | 1738 | 0.13  | 0.31  | 16.80 |
| 13   | 1736 | 0.13  | 0.31  | 18.40 |
| 14   | 1764 | 0.12  | 0.28  | 19.00 |
| 15   | 1734 | 0.13  | 0.31  | 20.11 |
| 16   | 1729 | 0.14  | 0.32  | 20.62 |
| 17   | 1704 | 0.15  | 0.35  | 21.72 |
| 18   | 1719 | 0.14  | 0.33  | 22.69 |
| 19   | 1747 | 0.13  | 0.30  | 22.94 |

جدول ۶: مقایسه جوابها.

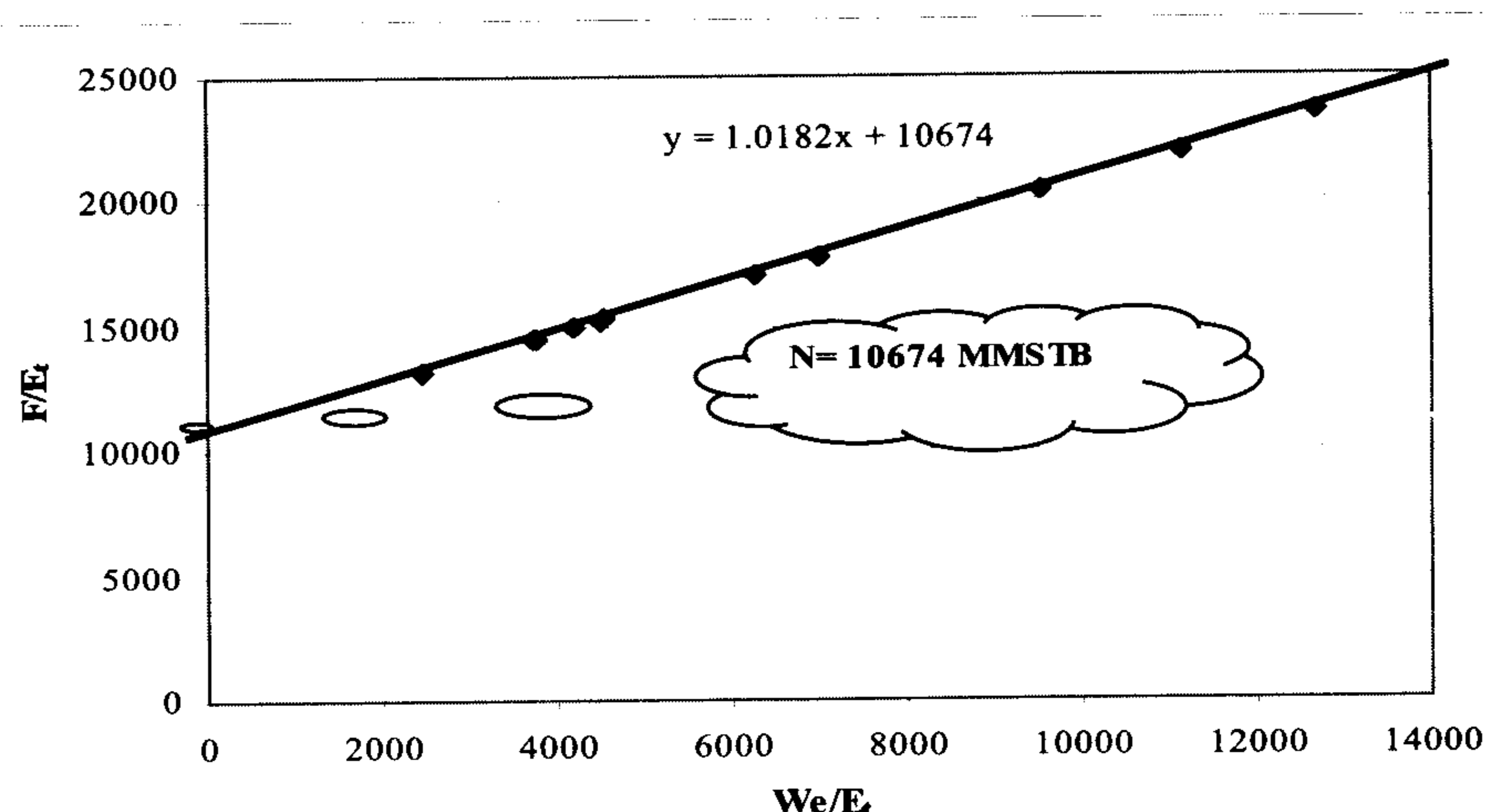
| Time | GA                     |                          |                                | H-O Solution         |                          |                                |
|------|------------------------|--------------------------|--------------------------------|----------------------|--------------------------|--------------------------------|
|      | N=28.4 MMSTB, m=0.0777 |                          |                                | N=27 MMSTB, m=0.0731 |                          |                                |
|      | We (MMbbl)             | E <sub>t</sub> (bbl/STB) | W <sub>e</sub> /E <sub>t</sub> | We (MMbbl)           | E <sub>t</sub> (bbl/bbl) | W <sub>e</sub> /E <sub>t</sub> |
| 1    | 1.282                  | 0.034                    | 37.191                         | -                    | -                        | -                              |
| 2    | 1.906                  | 0.055                    | 34.965                         | -                    | -                        | -                              |
| 3    | 2.842                  | 0.067                    | 42.290                         | -                    | -                        | -                              |
| 4    | 3.479                  | 0.076                    | 45.543                         | -                    | -                        | -                              |
| 5    | 3.619                  | 0.094                    | 38.567                         | -                    | -                        | -                              |
| 6    | 5.331                  | 0.111                    | 47.829                         | 0.571                | 0.110                    | 5.170                          |
| 7    | 5.579                  | 0.120                    | 46.542                         | 0.623                | 0.119                    | 5.240                          |
| 8    | 6.037                  | 0.131                    | 46.259                         | 0.701                | 0.129                    | 5.420                          |
| 9    | 8.923                  | 0.132                    | 67.455                         | 1.030                | 0.131                    | 7.860                          |
| 10   | 10.136                 | 0.143                    | 70.881                         | 1.165                | 0.142                    | 8.220                          |
| 11   | 11.099                 | 0.149                    | 74.396                         | 1.280                | 0.148                    | 9.410                          |
| 12   | 12.353                 | 0.156                    | 78.945                         | 1.459                | 0.155                    | 10.420                         |
| 13   | 13.914                 | 0.158                    | 88.188                         | 1.629                | 0.156                    | 12.220                         |
| 14   | 15.013                 | 0.140                    | 106.973                        | 1.700                | 0.139                    | 11.340                         |
| 15   | 15.592                 | 0.159                    | 98.029                         | 1.787                | 0.158                    | 11.370                         |
| 16   | 16.002                 | 0.162                    | 98.572                         | 1.829                | 0.161                    | 10.810                         |
| 17   | 16.636                 | 0.179                    | 93.081                         | 1.914                | 0.177                    | 12.150                         |
| 18   | 17.887                 | 0.169                    | 105.912                        | 2.034                | 0.167                    | 14.270                         |
| 19   | 18.641                 | 0.151                    | 123.318                        | 2.138                | 0.150                    | 13.370                         |

جدول ۷: اطلاعات و نتایج مربوط به میدان کربناته جنوب غرب ایران.

| Time | P (psi) | F (bbl) | E <sub>t</sub> (bbl/STB) | W <sub>e</sub> (MMbbl) | W <sub>e</sub> /E <sub>t</sub> |
|------|---------|---------|--------------------------|------------------------|--------------------------------|
| 0    | 4660    | -       | -                        | -                      | -                              |
| 1    | 4560    | 34.32   | 0.002                    | 9                      | 3784.55                        |
| 2    | 4450    | 74.38   | 0.006                    | 14                     | 2478.77                        |
| 3    | 4370    | 116.74  | 0.008                    | 30                     | 3737.82                        |
| 4    | 4280    | 160.48  | 0.011                    | 45                     | 4205.05                        |
| 5    | 4200    | 199.74  | 0.013                    | 59                     | 4510.87                        |
| 6    | 4090    | 250.40  | 0.016                    | 74                     | 4526.16                        |
| 7    | 3950    | 350.22  | 0.021                    | 129                    | 6286.23                        |
| 8    | 3780    | 455.49  | 0.026                    | 179                    | 6989.87                        |
| 9    | 3655    | 598.58  | 0.029                    | 280                    | 9540.27                        |
| 10   | 3480    | 761.83  | 0.035                    | 386                    | 11158.42                       |
| 11   | 3385    | 883.60  | 0.037                    | 475                    | 12678.40                       |

محاسبات موازنه مواد با الگوریتم ژنتیکی برای میدان Guico و نزوئلا Havlena-Odeh برای  $m$  به مقدار تخمینی ۰/۰۷۳۱ اکتفا کرده و با فرض مدل آبده و روش سعی و خطا کوشیده اند تا مقادیر  $N$  و  $W_e$  را برای مراحل مختلف زمانی پیدا کنند. نکته قابل توجه این است که جوابهای آنها، در حل ترسیمی پیشنهادی خودشان خطی با شیب ۸ می دهد، در حالی که طبق نظریه خود آنها شیب این خط باید برابر با یک باشد (شکل ۳). این در حالی است که آنها برای دستیابی به نتایج بهتر از سالهای نخستین می دهد.

شکل خطی معادله موازنه مواد را پیشنهاد کردند (مرجع [۴])، محاسبات موازنه مواد در این مخزن را به عنوان یک شاهد برای روش خود ارائه داده اند. این مخزن یک مخزن اشباع است. جدول (۵) اطلاعات مربوط به میدان را نشان می دهد.



شکل ۵: نتایج ترسیمی مربوط به میدان کربناته جنوب غرب ایران.

آوردن.

این مخزن، کلاهک گازی اولیه نداشته و زیر اشباع است. نکته قابل توجه در مورد این میدان عملکرد یکسان سراسر مخزن است به این معنی که فشار در سراسر میدان از روند یکسانی تبعیت می کند که نشانه ارتباط بسیار خوب قسمتهای مختلف میدان است.

جدول (۷) و شکل (۵) نتایج اطلاعات میدان را نشان می دهد. این نتایج با محاسبات حجمی نیز هم خوانی دارد.

### نتیجه گیری

تخمین میزان نفت درجا در مخزن به مهندسین مخازن و تولید کمک می کنند تا استراتژی صحیح تری را برای تولید از آن در نظر گیرند. درک صحیح از نحوه عملکرد دینامیک مخزن نیز برای مطالعه جامع آن امری ضروری است. برای دستیابی به این دو مهم معادله موازنه مواد ابزاری کارآمد به شمار می رود. روش متداول حل این معادله که مبتنی بر فرض یک مدل آبده برای مخزن و استفاده از اصل Superposition می باشد، مستلزم انجام محاسبات زیاد و استفاده از روش سعی و خطا است. این مقاله نشان می دهد الگوریتم با وجود حذف محاسبات زاید برای مسائل متفاوت به خوبی جواب می دهد. با توجه به گرافیکی بودن آن، این راه حل پیش بینی عملکرد آینده مخزن را نیز آسانتر می سازد. نکته اصلی در مورد این روش کارآیی آن برای مخازن ایران است که با حل یک مثال عملی نشان داده شده است.

تاریخچه تولید هم صرف نظر کرده اند. زیرا که حل دقیق معادله موازنه مواد برای یک مثال عملی به روش سعی و خطا مشکل و وقت گیر است. همین مساله به وسیله الگوریتم ژنتیکی هم بررسی شد. در این روش  $m$  هم به عنوان متغیر معرفی شد و کل تاریخچه ۱۹ ساله مخزن نیز بررسی گردید. شب خط به دست آمده در این روش دقیقاً برابر با یک می باشد (شکل ۴). جدول (۶) مقایسه نتایج دو روش را نشان می دهد. همانطور که مشاهده می شود آبده مخزن قویتر از میزان پیش بینی شده توسط Havlena-Odeh است. آین مساله خود را در میزان آب ورودی از آبده به مخزن نشان می دهد.

### محاسبات موازنه مواد با الگوریتم ژنتیکی برای میدان کربناته جنوب غرب ایران

در نهایت روش الگوریتم ژنتیکی برای ۱۰ سال تاریخچه تولید یکی از میدانین کربناته جنوب غرب ایران نیز استفاده شد تا مشخص شود آیا این روش برای مخازنی با ساختمان زمین شناسی پیچیده و ساختار ترکدار نیز مناسب است یا خیر. پیچیدگی ساختاری این مخازن بر ابهامات موجود در عملکرد دینامیک آنها افزوده و باعث شده است که محققین برای دستیابی به نتایج بهتر اصلاحاتی را در معادلات عمومی موازنه مواد پیشنهاد کنند. از آن جمله می توان به کار Idrobo و N. S. Meza, C.E.Medina, A. Ordóñez اشاره داشت که در سال ۲۰۰۱ (مرجع [۷]), طی مقاله ای معادله موازنه مواد در مخازن شکافدار طبیعی را بدست

## مراجع

- 1 - Schilthuis, R. J. (1936). "Active oil and reservoir energy." *Trans. AIME*, Vol. 118, No. 33.
- 2 - Havlena, D. and Odeh, A. S. (1963). "The material balance as an equation of a straight line." *Journal of Petroleum Technology*, PP. 846-900.
- 3 - Havlena, D. and Odeh, A. S. (1964). "The material balance as an equation of a straight line-part II." *Journal of Petroleum Technology*, PP. 815-822.
- 4 - Goldberg, D. (1989). *Genetic algorithms in search, optimization and machine learning*, Addison-Wesley.
- 5 - Holland, J. (1975). *Adaptation in Natural and Artificial Systems*, University of Michigan Press.
- 6 - Dake, L. P. (1993). *Fundamentals of reservoir engineering, 13th impression*, Elsevier Science Publishers pp. 317-324 (1993)
- 7 - Penuela, G., Idrobo, E. A., Ordonez, A., Medina, C. E. and Meza, N. S. (2001). "A new material-balance equation for naturally fractured reservoirs using a dual-system approach." *SPE 68831*, Paper presented at the SPE Western Regional Meeting held in Bakersfield, California.

## واژه های انگلیسی به ترتیب استفاده در متن

- 1 - Material Balance
- 2 - Oil In place
- 3 - Genetic Algorithm
- 4 - Constant Penalty
- 5 - Variable Penalty